

屈光度可调式激光扩束镜 | BE/LBED

RoHS

应用系统

光学元件 ·
薄膜产品

镜架

底座

手动平台

驱动装置

自动平台

光源

目录

介绍

反射镜

分光镜

偏光类产品

透镜

组合透镜

滤光片

棱镜

基板 / 窗口

光学数据

维护

选择指南

消色差

聚光透镜

fθ透镜

物镜

扩束镜

其他

将小口径激光光束扩大为大口径准直光束的光学系统。

通过屈光度调节机能，可以对准直进行微调节。

采用波面像差的优化设计，可以用于干涉仪或激光加工等的高精度光学系统。

- 光束扩束器的光学系统为没有胶合透镜的空气隙型透镜构造，因此，高能量激光也可以使用。
- 采用伽利略型透镜构造，减少了校正像差的透镜数量，缩短了光束扩束器的全长。
- 旋转装在光束扩束器中央的屈光度环，可以将入射光束转变为准直光束，发散光束。用于需要细密的准直调整时或改变束腰位置时。
- 从丰富细化的波长或倍率的系列产品中，选择符合您的技术要求的产品。
- BE-V, LBED可见光型可以使用配件适配器固定在He-Ne激光器(05-LHP)上。



信息

▶ 我们备有专用的，可调节光轴的扩束镜镜架(KLH-BE)。

► 参照网页 目录编号 W4147

▶ 承接制造目录产品之外的波长或用2个以上波长的消色差光束扩束器。

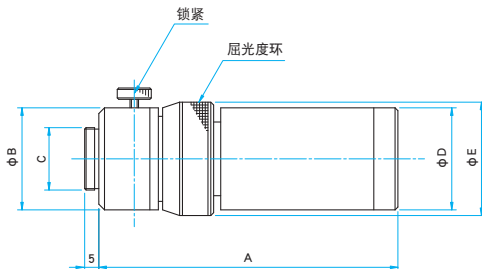
▶ 承接制造高能量脉冲激光用的光束扩束器。

注意

▶ 相反朝向使用光束扩束器时，不能形成光束口径缩小了的准直光线。请计算激光光束的发散角度或束腰的位置，使用其它适当的光学系统。

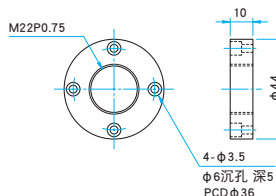
外形图

(单位: mm)



He-Ne激光连接适配器

► #4-40UNC, L=3/8...4个



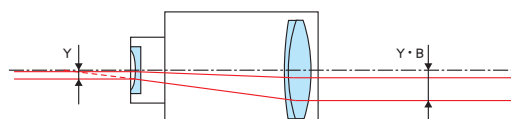
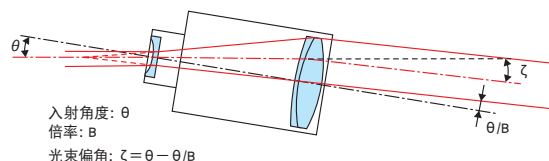
关于激光光束扩束器的调整

入射光束相对激光光束扩束器的光轴有倾斜角度时，扩大的准直光束将相对入射光束的方向倾斜射出。因此，相对入射光束，必须严格地调整光束扩束器的光轴。

入射光束的中心相对激光光束扩束器的光轴平行移动时，射出光束将扩大入射光束偏差量的几倍后射出。因此，需要无渐晕或变形的扩大光束时，必须严格调整入射光束与扩束器光轴中心一致。

如需要调整扩束器的倾斜或光轴，推荐使用激光光束扩束器支架(KLH-BE)。

► 参照网页 目录编号 W4147



适用支架 ► 适用本产品的支架如下。

KLH-BE-M22H, M34H



技术指标

主要材质：铝合金
表面处理：黑色阳极氧化

型号	设计波长 [nm]	光束倍率	入射有效直径 (MAX) [mm]	镜筒长度 A [mm]	ϕB [mm]	安装螺纹 C	ϕD [mm]	外径 ϕE [mm]	激光损伤阈值* [J/cm ²]	质量 [kg]
BE-2-266	266	2.0	$\phi 15.5$	72.0 ± 4	$\phi 57$	M34 P1	$\phi 48$	$\phi 60$	1.4	0.3
BE-3-266	266	3.0	$\phi 10.5$	79.5 ± 4	$\phi 57$	M34 P1	$\phi 48$	$\phi 60$	1.4	0.3
BE-4-266	266	4.0	$\phi 9.0$	90.5 ± 4	$\phi 57$	M34 P1	$\phi 48$	$\phi 60$	1.4	0.3
BE-5-266	266	5.0	$\phi 7.0$	119.5 ± 4	$\phi 57$	M34 P1	$\phi 48$	$\phi 60$	1.4	0.4
BE-7.5-266	266	7.5	$\phi 4.5$	129.0 ± 4	$\phi 57$	M34 P1	$\phi 48$	$\phi 60$	1.4	0.4
BE-10-266	266	10.0	$\phi 3.5$	173.0 ± 4	$\phi 57$	M34 P1	$\phi 48$	$\phi 60$	1.4	0.4
BE-2-355	355	2.0	$\phi 15.5$	75.0 ± 4	$\phi 57$	M34 P1	$\phi 48$	$\phi 60$	2	0.3
BE-3-355	355	3.0	$\phi 10.5$	83.0 ± 4	$\phi 57$	M34 P1	$\phi 48$	$\phi 60$	2	0.3
BE-4-355	355	4.0	$\phi 9.0$	94.5 ± 4	$\phi 57$	M34 P1	$\phi 48$	$\phi 60$	2	0.3
BE-5-355	355	5.0	$\phi 7.0$	125.0 ± 4	$\phi 57$	M34 P1	$\phi 48$	$\phi 60$	2	0.4
BE-7.5-355	355	7.5	$\phi 4.5$	134.5 ± 4	$\phi 57$	M34 P1	$\phi 48$	$\phi 60$	2	0.4
BE-10-355	355	10.0	$\phi 3.5$	181.0 ± 4	$\phi 57$	M34 P1	$\phi 48$	$\phi 60$	2	0.5
BE-2-V	400~700	2.0	$\phi 6.0$	42.0^{+3}_{-2}	$\phi 36$	M22 P0.75	$\phi 26$	$\phi 40$	4	0.12
LBED-3	400~700	3.0	$\phi 5.4$	42.0^{+3}_{-2}	$\phi 36$	M22 P0.75	$\phi 26$	$\phi 40$	4	0.12
BE-4.1-V	400~700	4.1	$\phi 4.1$	62.0 ± 3	$\phi 36$	M22 P0.75	$\phi 26$	$\phi 40$	4	0.13
LBED-5	400~700	5.0	$\phi 3.2$	50.5 ± 3	$\phi 36$	M22 P0.75	$\phi 26$	$\phi 40$	4	0.12
BE-6-V	400~700	6.0	$\phi 4.3$	102.0 ± 3	$\phi 36$	M22 P0.75	$\phi 36$	$\phi 40$	4	0.17
BE-7.6-V	400~700	7.6	$\phi 3.4$	80.0 ± 3	$\phi 36$	M22 P0.75	$\phi 36$	$\phi 40$	4	0.15
BE-8.4-V	400~700	8.4	$\phi 3.1$	89.5 ± 3	$\phi 36$	M22 P0.75	$\phi 36$	$\phi 40$	4	0.16
LBED-10	440~700	10.0	$\phi 2.6$	109.5 ± 3	$\phi 36$	M22 P0.75	$\phi 36$	$\phi 40$	4	0.18
BE-12.6-V	450~700	12.6	$\phi 2.1$	138.0 ± 3	$\phi 36$	M22 P0.75	$\phi 36$	$\phi 40$	4	0.2
BE-14.3-V	460~700	14.3	$\phi 1.8$	158.5 ± 3	$\phi 36$	M22 P0.75	$\phi 36$	$\phi 40$	4	0.2
BE-16.8-V	480~700	16.8	$\phi 2.1$	190.0 ± 3	$\phi 36$	M22 P0.75	$\phi 46$	$\phi 40$	4	0.3
BE-18.5-V	500~700	18.5	$\phi 1.9$	211.0 ± 3	$\phi 36$	M22 P0.75	$\phi 46$	$\phi 40$	4	0.3
BE-21-V	510~700	21.0	$\phi 1.7$	241.0 ± 3	$\phi 36$	M22 P0.75	$\phi 46$	$\phi 40$	4	0.3
BE-1.5-LD	780~830	1.5	$\phi 16.1$	51.0^{+4}_{-2}	$\phi 57$	M34 P1	$\phi 48$	$\phi 60$	4	0.3
BE-2-LD	780~830	2.0	$\phi 15.3$	53.0 ± 4	$\phi 57$	M34 P1	$\phi 48$	$\phi 60$	4	0.3
BE-3-LD	780~830	3.0	$\phi 10.1$	64.0 ± 4	$\phi 57$	M34 P1	$\phi 48$	$\phi 60$	4	0.3
BE-4-LD	780~830	4.0	$\phi 8.9$	95.5 ± 4	$\phi 57$	M34 P1	$\phi 48$	$\phi 60$	4	0.3
BE-5-LD	780~830	5.0	$\phi 7.2$	125.5 ± 4	$\phi 57$	M34 P1	$\phi 48$	$\phi 60$	4	0.4
BE-7.5-LD	780~830	7.5	$\phi 4.7$	135.5 ± 4	$\phi 57$	M34 P1	$\phi 48$	$\phi 60$	4	0.4
BE-10-LD	780~830	10.0	$\phi 3.6$	186.5 ± 4	$\phi 57$	M34 P1	$\phi 48$	$\phi 60$	4	0.5
BE-1.5-1064	1064	1.5	$\phi 16.0$	52.0^{+4}_{-3}	$\phi 57$	M34 P1	$\phi 48$	$\phi 60$	4	0.3
LBED-2Y	1064	2.0	$\phi 15.1$	49.0^{+4}_{-3}	$\phi 57$	M34 P1	$\phi 48$	$\phi 60$	4	0.3
LBED-3Y	1064	3.0	$\phi 10.2$	64.5 ± 4	$\phi 57$	M34 P1	$\phi 48$	$\phi 60$	4	0.3
LBED-4Y	1064	4.0	$\phi 8.6$	93.5 ± 4	$\phi 57$	M34 P1	$\phi 48$	$\phi 60$	4	0.3
BE-5.3-1064	1064	5.3	$\phi 6.8$	127.5 ± 4	$\phi 57$	M34 P1	$\phi 48$	$\phi 60$	4	0.4
BE-7-1064	1064	7.0	$\phi 5.1$	179.5 ± 4	$\phi 57$	M34 P1	$\phi 48$	$\phi 60$	4	0.5
BE-10-1064	1064	10.0	$\phi 3.6$	188.5 ± 4	$\phi 57$	M34 P1	$\phi 48$	$\phi 60$	4	0.5

※激光脉冲宽10ns,重复频率20Hz

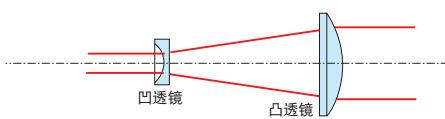
关于透镜的构造

光束扩束器根据透镜的构造分为2大类。

伽利略式

将凸透镜和凹透镜组合在一起的类型

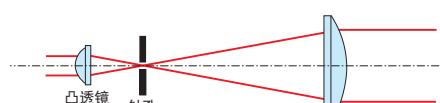
- 特征
- 可以缩短光束扩束器的全长。
 - 较少的透镜数量具有较高性能。
 - 也可以用于高能量激光。



开普勒式

将2个凸透镜组合在一起的类型(在本产品中没有使用。)

- 特征
- 可以在扩束器内插入针孔。通过针孔的空间滤波器效果，可以使射出光束形成良好的高斯分布。



注意事项 不可用于高能量激光。激光聚光在焦点后可能产生闪光，会导致透镜面变形。

屈光度和屈光度调节机能

光束扩束器射入平行光时，以光束直径扩大的平行光射出。但是，由于大部分的激光光束存在很小的发散，即使射入光束扩束器后也不会以平行光射出。而且，像半导体激光那样存在激光波长变化，空气温度变化等各种因素，从光束扩束器射出的光线将不是理想的平行光。因此，通过使用光束扩束器的屈光度调节机能，可以将近似平行光的射出光调整成平行光。构造严密的光学系统时，请使用带有屈光度调节机能的光束扩束器。屈光度是焦距(m)的倒数。由于光束扩束器准直时候焦距为无限大，屈光度为 $1/\infty=0$ 。聚光在2m时，屈光度为0.5。